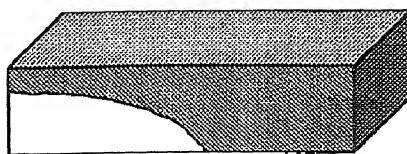
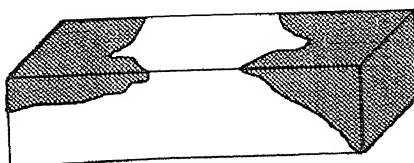


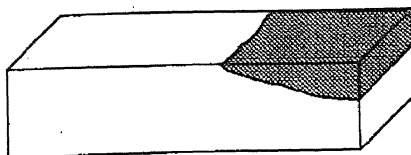
F i g. 1



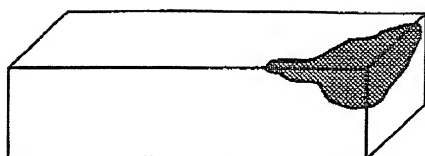
F i g. 2



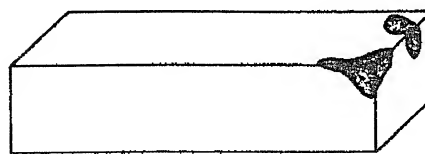
F i g. 3



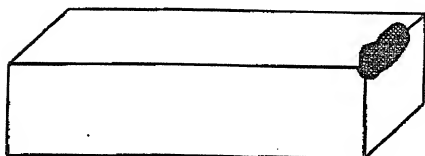
F i g. 4



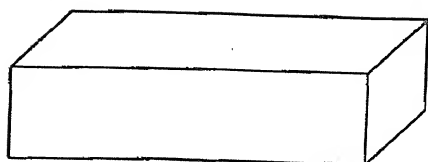
F i g. 5



F i g. 6



F i g. 7



F i g. 8



F i g. 9

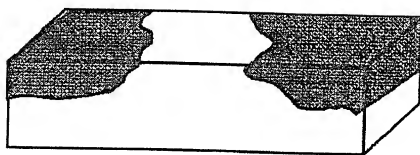


Fig. 10

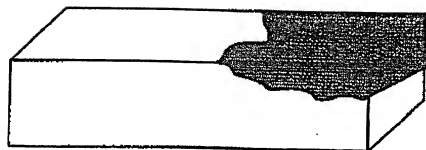


Fig. 11

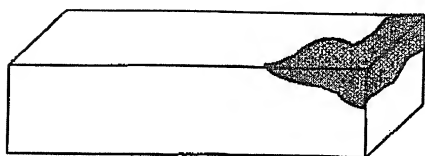
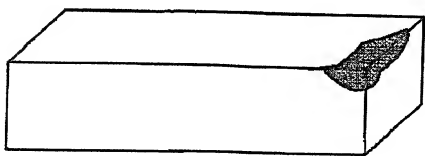
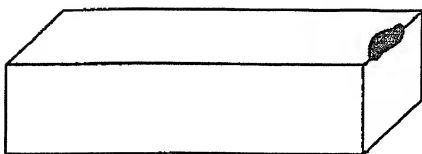


Fig. 12



F i g. 1 3



THERMOCHEMISTRY

F i g. 1 4

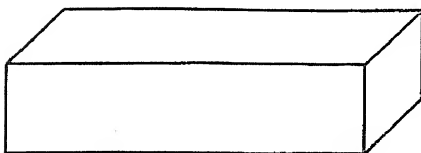


Fig. 15

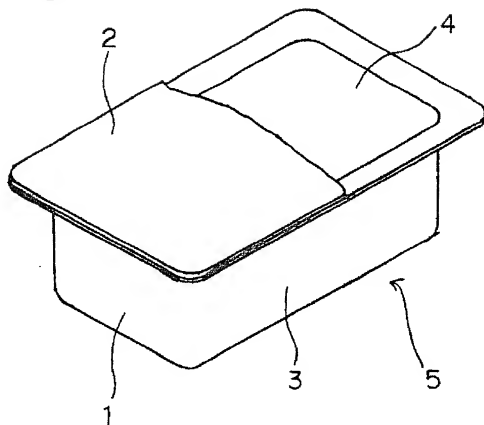


Fig. 16

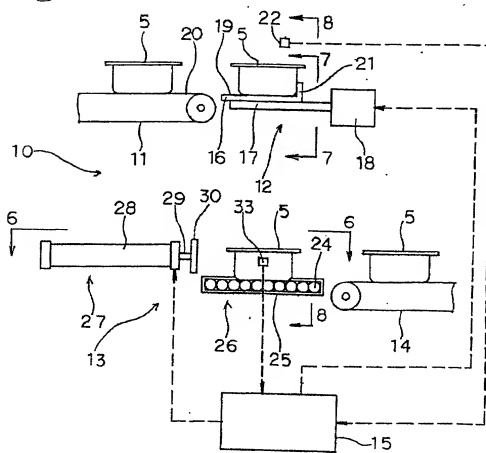


Fig. 17

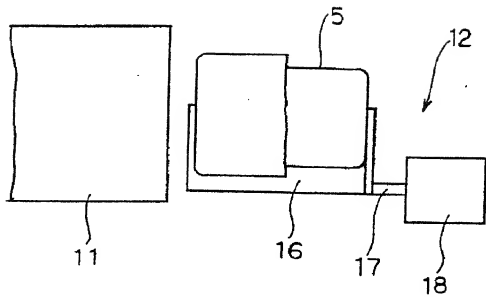


Fig. 18

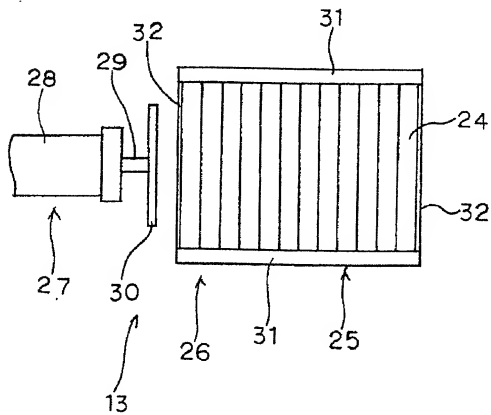
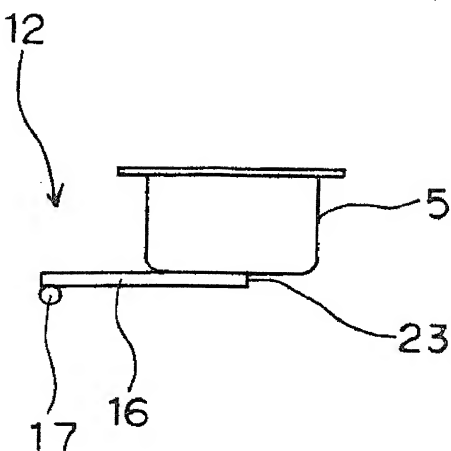


Fig. 19



F i g. 2 0

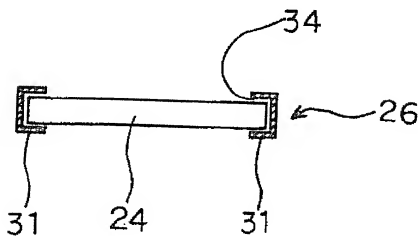
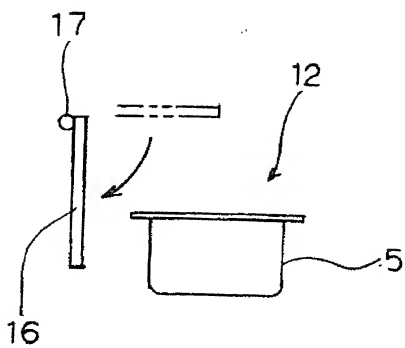
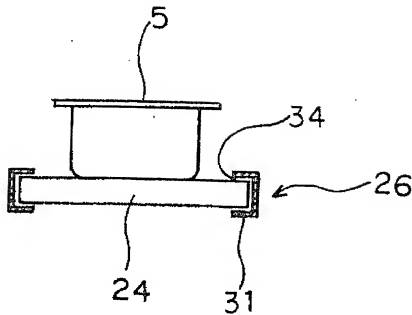
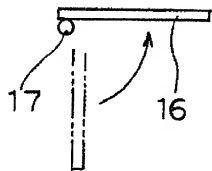
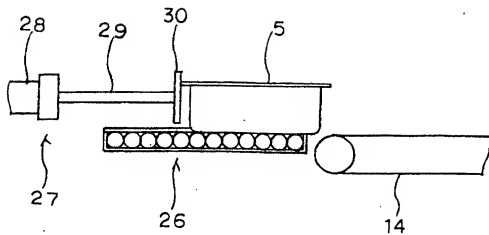


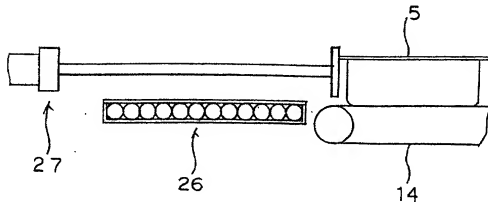
Fig. 21



F i g. 2 2



F i g. 2 3



F i g. 2 4

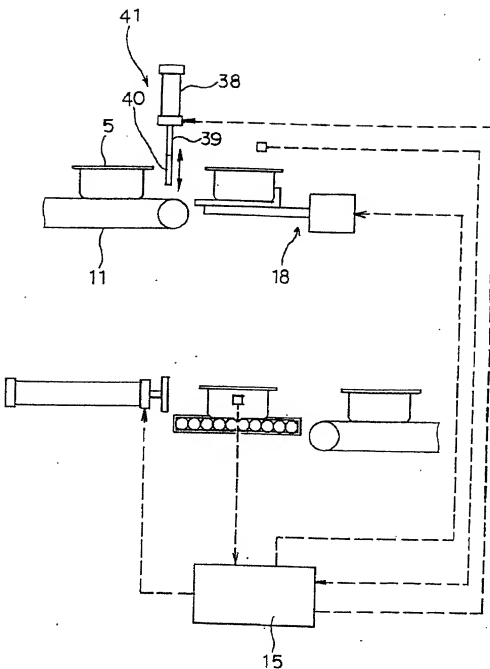
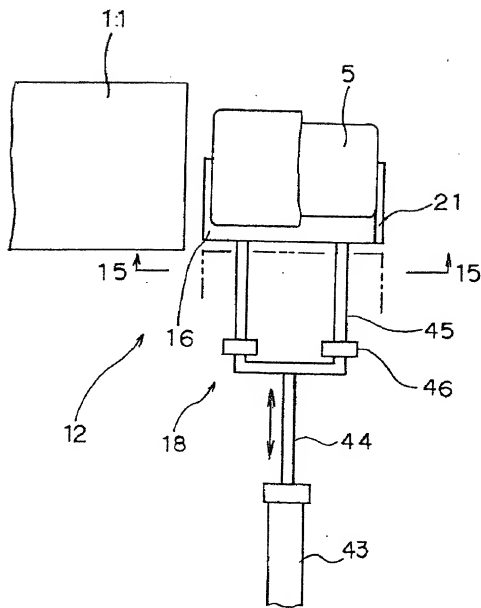
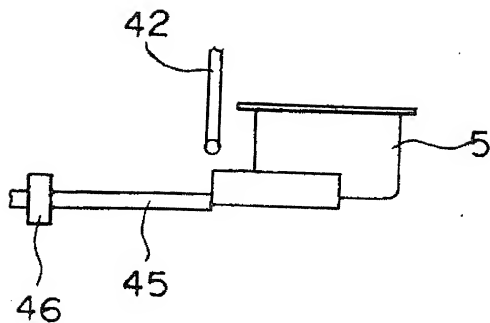


Fig. 25

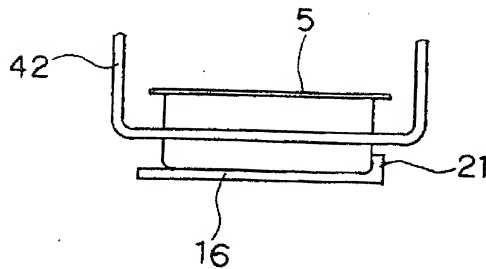


F i g. 2 6

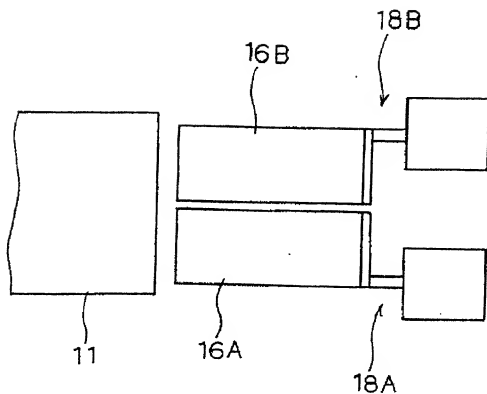


1023327 - 1969

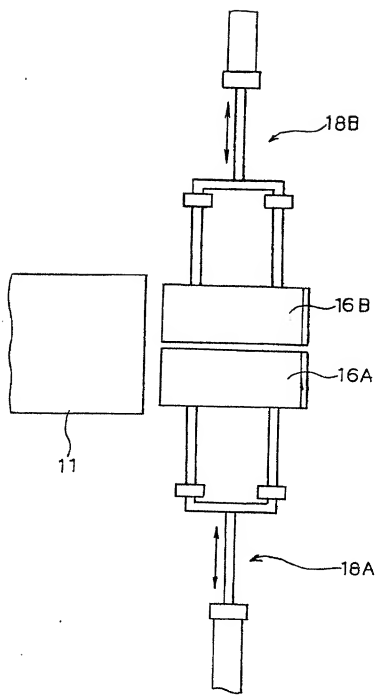
F i g. 2 7



F i g. 2 8



F i g. 29



10025570 - 122601